

溫水池에 依한 灌溉用水의 水溫上昇 効果에 關한 研究

A Study on the Effects of Temperature Rise of Irrigation Water Passed Through the Warm Water Pool.

延 圭 錫* · 崔 禮 煥**
Kyu Seok Yeon , Ye Hwan Choi

Summary

The study was to estimate the effect of the rise of water temperature in the warm water pool and to make contribution to the establishment of reducing to a damage of cool water as well as to the planning for warm water pool. This observation was performed in Wudu warm water pool located at Wudu-Dong of Chuncheon for two years from 1975 to 1976.

The results were showed as follows;

1. The daily variation of water temperature was the least for inlet (No.1; 0.6 °C) the second for middle overflow (No2; 3°C, No.3; 2.3°C) and another for outlet (No.4; 3.6°C, No.5; 3.8°C)

And the highest reaching time of water temperature in each block was later about 1 hour than the time at which air temperature happen in the daytime.

- So, the variation of water temperature was sensitive to the variation of air temperature
2. The monthly variation of water temperature at each measuring point was plotted to be increased with increase in air temperature till August (Mean monthly rising degree; No.1; 1.15°C, No.2; 1.7°C, No.3; 1.73°C, No.4; 2.08°C, No.5; 2.0°C), and expressed gradually descended influence upon water temperature after August.

3. The mean temperature of inflow followed in warm water pool was 7.5~12.5°C, and outflow temperature was described as 13.4~22.5°C to be climbed.

And So, the rising interval of water temperature was shown as 6.7~10.4°C.

4. The correlation between the rising of water temperature and the weather condition was found out highly significant. As the result, their correlation coefficients of water temperature depending on mean air temperature, ground temperature, wind velocity and relative humidity were to be 0.93, 0.90, -0.83 and 0.71 respectively. But there was no confirmation of the correlation on the clouds, sunlight time, volume of evaporation, and heat capacity of horizontal plane.

* 農業振興公社 江原道支社

**江原大學 農工學科

5. The water temperature of balance during the period of rice growing in Chuncheon district was shown as table 10, and the mean of whole period was calculated as about 23.7°C.

6. The observed value of the outflow temperature passed through the warm water pool was higher than that of computed, the mean difference between two value was marked as 1.15°C for block1, 1.18, °C for block2, and 0.47°C for block3, respectivly. Therefore, the ratio on the rising degree between the observed and computed were shown as 53%, 44%, and 18%, mean 38% through each block warm water pool (referring item ⑨ of table 11, 12, and 13).

Accordingly, formula (4) in order to fit for each block warm water pool was transformed as follow;

$$\theta_w - \theta_0 = [1 - \exp \left\{ \frac{-h(1+2\varphi)}{cp} \cdot \frac{A}{q} \right\}] \times (\theta_\infty - \theta_0) \times C$$

Here, correction coefficient was computed 1.38, and being substituted 1.38 for C in preceding formula, the expected water temperature will be calculated to be able to irrigate the rice paddy.

As the result, we can apply the coefficient in order to plan and to construct a new warm water pool.

I. 緒論

水稻의 多收穫을 爲해서는 무엇보다도 充分한 灌溉用水가 供給되어야 한다는 것은 自明한 事實이다 때문에 그동안 우리는 이의 解決을 위해 農業用水開發事業에 拍車를 加해온바, 顯著한 進展을 보여 이제는 漸次의으로 全天候農業의 基盤이 造成되어 가고 있으며, 그 施設도 小規模에서 大規模로 變貌해가고 있는 것이다.

그中 代表적인 例로서는 四大江流域綜合開發計劃의 一環으로 이미 建設된 昭陽, 安東, 多目的댐과 特히 農業用水의 供給을 主目的으로 한 榮山江의 垈草, 長城, 潭陽, 光洲댐等을 들수 있겠다.

그러나, 이와같이 豐富한 水資源을 가진 大規模의 댐에서 農業用水를 供給할 경우 問題點도 적지 않게 나타나는데, 그中에서 특히 重要視되는 것은一般的으로 저와 같은 多目的댐이 農業用貯水池보다 水深이 깊기 때문에 그 底面部의 水溫이 상당히 낮은 分布를 나타내므로 이 部分의 물을 그대로 灌溉하면 水稻에 冷水로 인한 被害를 誘發시킨다는 點이다.

이러한 問題는 水稻가 氣溫, 水溫 等이 比較的 높은 것을 좋아하기 때문에 더욱 두드려지는데. 그

예는 關係當局이 發表한 1976年度 各道別 反當米穀生產量에서도 찾아 볼수 있다.

即, 全國平均은 492kg 인데 比하여 江原道는 이보다 무려 109kg이나 적은 383kg으로 나타난 것이다.

이러한 結果는 여러 要因에 依한 것이 있겠으나 山岳地帶인 江原道地方의 낮은 氣溫에 依한 低水溫도 亂 要因으로 作用되었으리라 推測되는 것이다.

그리고, 温水取水施設이 되지 않은 大規模의 댐으로 부터 灌溉用水를 供給받음으로 因하여 蒸起되는 冷水被害에 對하여는 昭陽江 多目的댐을 좋은 例로 들수 있다.

即, 昭陽江 多目的댐은 總貯水量을 29億ton을 滯水할 수 있는 東洋最大의 砂礫댐으로서 農業用水를 供給받는 取水口는 平均水深 50m지점(平均 貯水位 變動 EL. 179~189m로 할 때 取水口 中心部 EL 135m까지의 水深은 44~54m임)에 位置하는 發電用 水壓鐵管(48m³/sec) 末端에 設置된 灌溉用水供給用 分岐管(1m³/sec)에서 放出, 7.4km의 導入路(暗渠 5.7km, 開渠 1.7km, 平均斷面 2.4×1.3m)를 거쳐 供給되고 있으나 導水路 終點의 灌溉期 水溫分布 7.5~12.5°C는 정도 밖에 되지 않는다.

이와같은 低水溫은 水稻生育期間 中의 地下水 平均水溫 12~18°C보다도 낮고, 用水路內서 限界水溫

이와 할 수 있는 23°C에는 월선 미달되는 水溫으로서 1973年度에는 이물을 灌溉하여 水稻를 栽培한 結果, 低水溫으로 極甚한 赤枯現象을 나타내어 많은 減收量을 招來한 바가 있다.

그리하여 春川市 牛頭地區 蒙利面積 260ha에 對한 灌溉用水의 水溫을 上昇시킬 目的으로 溫水池를 築造하게 되었으나 이 溫水池는 敷地面積이 12.8ha에 達하는 韓國初有의 大施設인 만큼 國內에서는 溫水池에 對한 經驗은 勿論 參考資料 조차 稀少하여 이의 設計 및 施工에 많은 險路點이 뒤따라야만 했다.

따라서 本研究는 이 溫水池를 對象으로 水溫上昇效果에 對하여 考察해 볼으로써, 앞으로 水溫上昇을 위해 設置될 溫水池 築造는 勿論, 나아가서는 中部 以北地方의 山缶地帶에 나타나고 있는 冷水로 因한 被害를 減免하는 對策의 樹立에도, 다소나마 도움을 주고자 수행된 바, 그 結果를 여기에 記述한다.

II. 研究史

水稻의 冷水被害에 關한 研究는 水稻生育에 必要한 適正 水溫 究明을 始初로 氣溫에 依한 低水溫의 被害를 植物의 生態學的, 生理學的 側面에서 考慮한 것이 大部分이다.

冷水被害의 出現은 品種에 따른 抵抗의 強弱, 土壤狀態, 施肥方法, 水稻의 生育狀態, 溫度處理期間의 長短과 氣溫의 高低, 生育期間의 相異 等에 따라 달라지는 것이며, 이것은 着根, 分蘖, 生長 등의 生育을 沮害하는 遲延性冷害와 幼穗의 分化와 發育을 沾害하는 生殖障害型冷害로 大別된다.

그리하여, 冷水溫이 水稻의 生育에 미치는 영향에 대해 近藤¹⁸⁾等은 14°C以下의 水溫이면 分蘖이 되지 않는다고 했고, 田中, 高杉¹⁹⁾, 佐木²⁰⁾, 松島²¹⁾, 角田²²⁾, 韓²³⁾ 等은 分蘖 및 生育期가 지연되어 分蘖기능이 나빠지나 後半의 環境만 좋아지면 서서히 回復된다고 했으며, 櫻本²⁴⁾은 出穗 5일 전부터 그以後는 水溫의 영향이 거의 없다고 했다.

또한 角田²⁵⁾는 水稻의 生育 最適溫度가 30~34°C로서 最低水溫界限는 15°C라고 했으며, 低水溫의 惡影響이 가장 현저하게 나타나는 時期는 幼穗形成期부터 出穗期라고 했다.

한편, 松島^{20·21)}等은 書夜間 變溫條件下에서 試驗한 結果 分蘖기에 月較差가 크고 特히 夜間에 低水溫인 경우는 穗數 및 一株穎花數가 增加하며, 夜間に 危險低溫이 되더라도 畫間水溫만 높으면 回復되

여 登熱과 收量의 低下가 誘發되지 않는다고 했고 角田²⁶⁾도 이를 確認하여 그의 試驗에서 分蘖기간을 15日間 씩 2分解해서 分蘖初期, 分蘖盛期로 나누어 溫度處理를 하였던 바 分蘖初期는 畫間溫度 20~25°C, 夜間溫度 20~15°C 等과 같은 低温이 가장 좋았고, 分蘖盛期에는 畫間 30°C, 夜間 25~30°C와 같이 比較的 높은 溫度가 最高收量을 나타낸다고 보고하였다.

그리고 畑內의 水溫에 對하여, 川原²⁷⁾는 氣溫에 따른 畑內 水溫의 日變化 경향을 調查한 바 最高水溫은 13~16時에 最低水溫은 日出直前에 나타나며 灌溉水溫의 上昇은 水深과 密接한 관계가 있다고 하였고, 또 八鍬²⁸⁾는 水深에 따라 畑內 水溫이 變化하는데 8~15時 사이는 2cm區가 5cm區보다 1.7~2.5°C나 높으나 16時以後는 오히려 逆轉되어 0.3~1.2°C가 떨어진다고 했다.

또한 角田²⁹⁾은 冷水灌溉가 水稻의 收量에 크게 영향을 미치는 要素는 灌溉日數, 灌溉時刻 및 灌溉水深 등으로서 冷害에 對한 防止策은 夜間灌溉, 畫間止水法 또는 非湛水灌溉法이 效果의 이라 하였으며, 松島³⁰⁾은 導水溫度가 25°C 内外이면 冷害를 받는 일이 없겠지만 用水의 溫度가 20°C 内外 일지라도 間斷灌溉나 非湛水灌溉를 하면 水稻栽培에 큰 지장이 없다고 했다.

또한 農林部³¹⁾는 設計基準에서 限界水溫은 벼의 品種 및 生育期 等에 따라 다르나 移秧부터 出穗까지의 平均水溫은 23°C 前後이면 되겠으며, 灌溉期間의 平均水溫이 18°C 以下인 곳은 勿論 18°C 以上인 곳에서도 冷水被害가 우려될 때는 適當한 水溫上昇施設을 설치해야 한다고 정하고 있다.

그런데, 水溫上昇施設인 溫水路에 對해 片岡³²⁾等은 水溫을 上昇시키는 要素는 太陽과 大氣의 辐射熱量(R)과 空氣中에서 水面으로의 傳達熱量(K)이 있어서 이들 热量은 水溫上昇에 溝結 또는 發熱(E), 夜間에 水面에서 反射되는 有効輻射(B)에도 使用된다. 主要하면서 落差工을 設置하면 水脈이 飛散하는 途中에 热交換이 일어나 水溫上昇의 效果가 있다 했고, 前川³³⁾은 $Q=0.95m^3/sec$, $L=1,073m$, $B=12.4m$, $S=1/2,000$, $h=0.21m$, $V=0.35m/sec$ 落差工 39개소인 溫水路를 만들어 3~5.7°C의 上昇效果를 얻었다고 했으며, 游澤³⁴⁾은 ① $Q=4.97m^3/sec$, $L=875m$, $S=1/2,000$, $h=0.45m$, $v=0.47m/sec$, 落差工 18個所 ② $Q=4.97m^3/sec$, $L=1,425m$, $S=1/2,000$, $h=0.45m$, $v=0.47m^3/sec$, 落差工 30個所, ③ $Q=3.14m^3/sec$, $L=1,500m$, $S=1/2,000$,

$h=0.45$, $v=1.46\text{m/sec}$, 落差工 24個所인 3개의 温水路를 만들어 早朝에 0.5°C , 12~14時에 2.3°C , 日沒後에 2.3°C 의 水温上昇 效果를 얻었고, 村上²⁵⁾은 灌溉期間에 融雪水가 12~14°C로 흐르는 것을 1,900m 流下시켜, 2~3°C의 上昇效果를 얻던 것을水面積 20,000m², $L=934\text{m}$, $B=20\text{m}$, 落差工 25個所의 廣幅温水路를 만들어 2.17°C 의 上升效果를 얻었다고 했다.

또한 田原²⁶⁾ 橫田²⁷⁾等은 橫越式, 階段式, 温水路式越流對流式의 3型式을 採擇하여 $1.3\sim4.4^\circ\text{C}$ 의 水温上昇效果를 보았는데, 이것은 热收支計算值보다 높다고 하였으며, 韓²⁸⁾은 灌溉期間의 서울지방 平衡水温을 26.2°C 로 계산하고, 15.5°C 의 지하수를 23°C 까지 높이는데 必要한 温水路(池)面積은 $559\text{m}^2/\text{hr}$ 로 灌溉面積의 5.1%를 차지한다고 하였다.

이와같이 수는상승 시설로서 温水路에 關한 研究는 많은데 反해 温水池에 關한 연구는 비교적 적어 三原²⁹⁾ 等이 温水池의 수온상승도와 热獲得 效率에 關한 分析을 하여 热收支理論에 依據 温水池에서의 热收支式을 發表했으며, 八鍬³⁰⁾는 水槽에 各種 塗色을 하여 조사한바 黑色區가 水温이 가장 높았고 白色區가 가장 낮았으며 水面에 黑色板을 띄운 것은 더욱 높아서 旱地구 보다도 8.6°C 나 높았는데, 그 까닭은 蒸發을 억제하여 热의 손실이 적기 때문이라 하였다. 또한 國內에서는 韓¹⁰⁾의 研究

報告가 있는데 黑色 塗色區 4個區와 白色 塗色區 4個區 등 8個區($1.8\times1.8\text{m}$)의 模型温水池를 설치하여 30, 50, 100, 150cm 깊이로 濛水試驗한 것으로 그 교차는 30cm에서 6.1°C , 50cm에서 4.9°C , 100cm에서 3°C , 150cm에서 2.8°C 로서 塗色別 温水池 깊이와 水温과의 關係式은 黑色의 경우 $\theta_b=-2.7h+29.4$ 白色의 경우 $\theta_w=-2.6h+28.4$ 라고 發表했다.

한편, 實際 温水池의 上溫效果의 事例³¹⁾는 거의 가 日本에 있는 것으로서 秋田縣의 谷地澤池($\theta_0=17\sim18^\circ\text{C}$, $\theta_w=20\sim22^\circ\text{C}$, $H=1.52\text{m}$, $Q=0.312\text{m}^3/\text{sec}$) 富山縣의 東山池($\theta_0=9.1\sim16.5^\circ\text{C}$, $\theta_w=11\sim20^\circ\text{C}$, $H=1.32\text{m}$, $Q=0.061\text{m}^3/\text{sec}$) 鳥取縣의 丸山池($\theta_0=10.8\sim13.7^\circ\text{C}$, $\theta_w=14\sim18.8^\circ\text{C}$, $H=2.5\text{m}$, $Q=0.112\sim0.196\text{m}^3/\text{sec}$) 最野縣의 細野池($\theta_0=8.5\sim12^\circ\text{C}$, $\theta_w=12\sim16^\circ\text{C}$, $H=1.8\sim2.5\text{m}$, $Q=0.42\text{m}^3/\text{sec}$) 向坂池($\theta_0=14.2\sim23.8^\circ\text{C}$, $\theta_w=20.5\sim23.4^\circ\text{C}$, $H=1.4\text{m}$, $Q=0.72\text{m}^3/\text{sec}$)等에서 찾아 볼수 있는데, 水温上昇度는 大體로 1.2°C 로 부터 7°C 까지로 나타나 있다.

III. 研究對象 및 方法

1. 研究對象

- 1) 名稱: 牛頭 温水池
2) 位置: 江原道 春川市 牛頭1洞

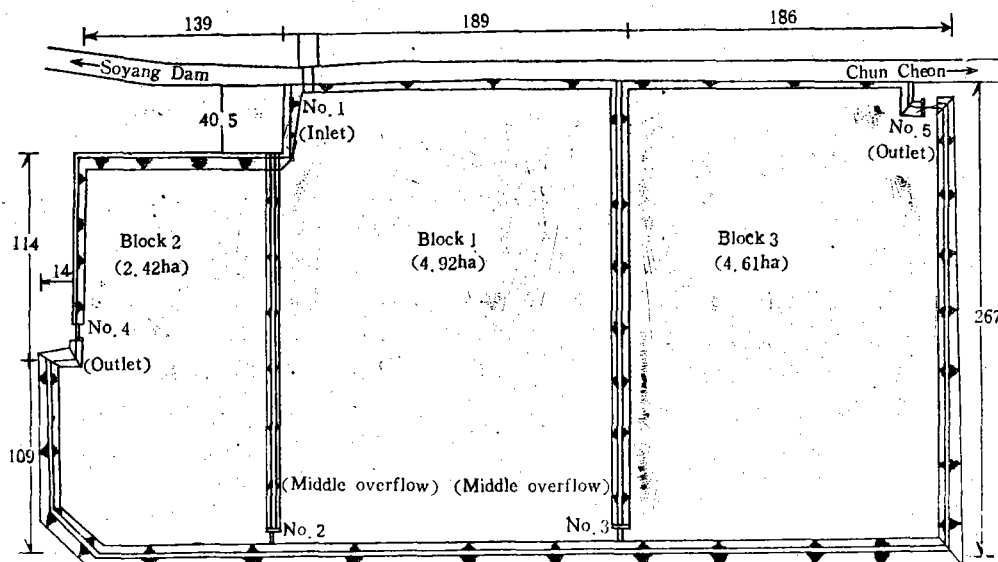


Fig. 1. Top view of the warm water pool. (Unit:m)

3) 概況

- ① 着工日字 : 1974年 5月 8日
- ② 竣工日字 : 1974年 8月 30日
- ③ 敷地面積 : 12.8ha(水面積 11.95ha)
- ④ 流入量 : 1m³/sec
- ⑤ 平均水深 : 1.15m
- ⑥ 滯水量 : 113,871.4ton
- ⑦ 型式 : 遊水型 温水池
- ⑧ 蒙利面積 : 260ha

2. 研究期間

1次年度 : 1975. 4. 15~9. 10
2次年度 : 1976. 4. 15~9. 10 (2個年間)

3. 研究方法

1) 流量調査

流入流量은 温水池 流入口로 부터 上流 150m 地點에 설치한 Pitot tube로 3回 测定한 水位差量 平均하여 計算한 流速과 架樑斷面積을 곱하여 求했으며, 流出流量은 Rehbock의 實驗式에 依해 求했다.

2) 水溫變化調査

日變化는 07~20時까지 每時마다 流入口 (No. 1) 中間水位 (No. 2, 3) 流出口 (No. 4, 5)에서의 水溫을 测定했으며, 月變化는 每日4回 (09, 12, 15, 18時) 上記測點에서의 测定値를 平均한 값에 依하였다. 여기서 水溫測定은 棒狀水銀溫度計 (測定範圍 0~50°C, 感度 0.1°C)에 依하였다.

3) 水溫分布調査

Block 1과 Block 3를 對象으로 했으며, 四方 50m 간격마다 Pole (길이 1.7m)로 测點을 表示하고 고무 Boat (2人用)를 利用하여 棒狀長足水銀溫度計 (測定範圍 0~50°C, 感度 0.1°C)에 依한 水溫分布 (5cm, 55cm, 110cm 水深別 测定)을 調査했다. (測點數 : Block 1; 20個所, Block 3; 20個所 計 40個所)

4) 氣象條件調査

氣象條件은 温水地로 부터 700m 地點에 位置하는 春川測候所 (北緯 37.9°)의 觀測值을 利用했다.

IV. 分析 및 考察

1. 流量 및 温水池內 滯留時間 算定

1) 流量算定

① 流入流量

Pitot tube에 依해 水位差量 测定한 바 46mm이므로 流速公式

$$V = \sqrt{2gh} \quad \dots \dots \dots (1)$$

에 $g=9.8$ $h=0.046$ 을 代入

$$\therefore V = \sqrt{2 \times 9.8 \times 0.046} = 0.9495 \text{ m/sec}$$

따라서, 架樑斷面積 $A=1.1\text{m}^2(1.1 \times 10\text{m})$

이므로 流量은 公式

$$Q = A \cdot V \quad \dots \dots \dots (2)$$

를 利用하여 求할 수 있음.

$$\therefore Q = 1.1 \times 0.9495 = 1.044 \div 1\text{m}^3/\text{sec} \text{임}$$

② 流出流量

矩形堰이 自由水量을 가질 경우 流量을 测定하는 데는 Francis(美, 1852), Bazin(佛, 1888), 沖(日, 1929) 等의 公式이 있으나 比較的 넓게 適用되고 있는 다음의 Rehbock (獨, 1912)의 實驗式을 써서 求했다.

$$Q = \left(1.782 + 0.24 \frac{H+0.001}{Hd} \right) \times \left(b - \frac{nH}{10} \right) \times (H+0.0911) \quad \dots \dots \dots (3)$$

但, H : 溢流水深

Hd : 堤項과 바닥의 高低差

b : 堤頂幅

n : 端收縮의 數 (여기서는 兩端收縮이므로 $n=2$)

위의 (3)式에 依해 流出流量을 算出하면

① 流出口 (No. 4) (條件 $H=0.24$, $Hd=0.7$)

$$\therefore Q = \left(1.782 + 0.24 \frac{0.24+0.001}{0.7} \right) \times \left(1 - \frac{2 \times 0.24}{10} \right) \times (0.24+0.0911)^{\frac{3}{2}} \\ = 1.864 \times 0.952 \times 0.1905 = 0.34\text{m}^3/\text{sec} \text{ 며,}$$

② 流出口 (No. 5) (條件 $H=0.24$, $Hd=0.7$)

$$\therefore Q = \left(1.782 + 0.24 \frac{0.24+0.001}{0.7} \right) \times \left(1 - \frac{2 \times 0.24}{10} \right) \times 0.24 + 0.0911)^{\frac{3}{2}} \\ = 1.864 \times 0.952 \times 0.1905 \\ = 0.338 \times 2\text{個所} = 0.66\text{m}^3/\text{sec} \text{ 다.}$$

2) 温水池內 滞留時間 测定

各 Block別 滞留時間은 다음 Table 1과 같이 算出할 수 있다.

Table 1에서 計算된 바와 같이 温水池의 總水面積은 119,502m²(11.95ha)이고, 滯水量은 總 133,871.4m³으로서 各 Block別 滞留時間은 Block 1에서 15.0hr, Block 2에서 23.7hr, Block 3에서

Table-1

Calculation of staying time in each block.

Classification	Unit	Block 1	Block 2	Block 3	Total	Remarks
Water surface area (A)	m^2	49,176	24,192	46,134	119,502	
Mean depth (h)	m	1.10	1.20	1.10		
Pondage (S)	m^3	54,093.6	29,030.4	50,747.4	133,871.4	$A \times h$
Flowing discharge (Q)	$m^3/sec.$	1.0	0.34	0.66		
Flowing discharge (q) per hr.	$m^3/hr.$	3,600	1,224	2,376		$Q \times 3,600$
Staying time (T)	hr.	15.0	23.7	21.3		$S \div q$

서 21.3hr로 나타난 바, 이는 濡水量과 流入, 流出量에 依해서決定되고 있다.

2, 3), 流出口(No. 4, 5)別로 07~20時까지 每時間測定하였고, 信頗度를 높이기 為해 6日間(1976年, 7/8, 7/15, 7/25, 8/6, 8/21, 8/25)의 測定值을 同一時間別로 平均하여 日變化 樣相을 調査한 바 그結果는 Table 2 및 Fig. 2와 같다.

2. 水溫의 日變化

水溫의 日變化는 流入口(No. 1), 中間물념이(No.

Table-2

Daily variation in water temperature.(Unit : °C)

		Hour	07	08	09	10	11	12	13	14	15	16	17	18	19	20
Measuring point																
Inlet	No.1	10.5	10.6	10.7	10.7	10.8	10.9	10.9	10.9	10.9	11.0	11.1	11.0	10.9	10.8	
	No.2	15.2	15.5	16.0	16.3	16.4	16.9	17.2	17.5	17.8	18.1	18.2	17.9	17.3	16.9	
Middle overflow	No.3	15.1	15.4	15.7	15.7	15.8	16.1	16.4	16.6	17.0	17.2	17.4	17.1	16.5	15.9	
	No.4	19.3	19.8	20.4	21.1	21.7	22.1	22.4	22.5	22.6	22.8	22.9	22.4	21.8	21.3	
Outlet	No.5	18.2	18.8	19.3	19.9	2.08	21.3	21.5	21.6	21.8	21.9	22.8	21.5	20.9	20.3	
	Mean air temp.	21.0	21.6	22.8	24.2	25.2	26.0	26.6	27.2	27.6	27.7	27.5	27.0	26.1	24.8	

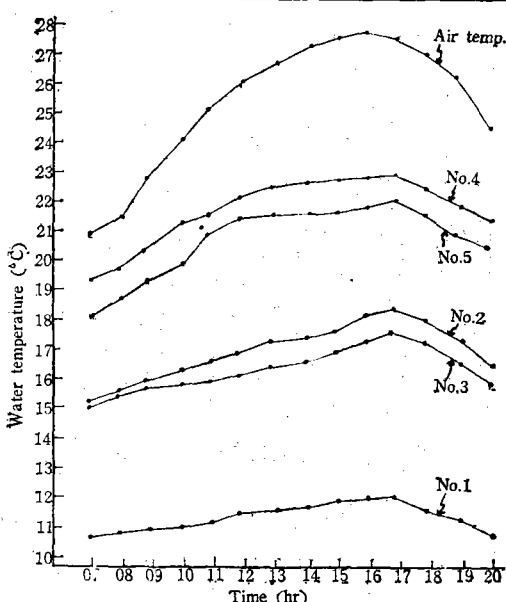


Fig. 2. Daily variation in water temperature.

위의 Table 2 및 Fig. 2에서 볼 수 있는 바와 같이 流入口(No. 1) 水溫의 日較差는 0.6°C (最低 10.5°C, 最高 11.1°C)로서 큰 變化가 없었는데 中間물념이 (No.2, 3)는 각각 3.0°C , 2.3°C , 流出口 (No. 4, 5)는 각각 3.6°C , 3.8°C 의 日較差를 나타냈다.

즉, 水溫의 日較差는 流入口(No. 1)가 가장 작았고, 다음이 中間물념이 (No. 2, 3), 流出口(No. 4, 5)의 順으로 높게 나타났다.

그리고, 各測點別 水溫의 最高 到達時間은 共히 17時 前後로서 氣溫의 最高 到達時間 보다 約 1時間程度 늦은 傾向을 보였다.

이中 特히 流入水溫은 韓¹⁰이 調査한 地下水의 境遇 日最高 到達時間이 18~20時로서, 氣溫보다 2~3時間 늦다고 한데 比해 本 調査에서는 1時間 程度로 氣溫의 變化에 거의 接近하는 變化 樣相을 보였는데, 그 깊은 데로부터 7.4km의 導水路를 거쳐오는 동안 外氣溫의 영향을 直接받기 때문이라 解析된다.

한편, 流出口(No. 4, 5)의 水溫도 韓¹⁰⁾이 調査한 一般 農業用 賽水池의 境遇(水面, 1, 2, 3m 共히) 氣溫과 더불어 上昇하여 外氣溫의 最高 到達時間 보다 조급 늦은 16時頃에 最高가 되며, 18時頃까지도 높은 温度를 維持한다는 것과는 달리 本 温水池의 境遇는 氣溫이 내려감에 따라 水溫도 急激히 下降함을 보이고 있는바, 이것 역시 氣溫의 變化에 温水池의 水溫이 至極히 敏感함을 보이는 것이다 하

겠는데, 가장 큰 原因은 温水池의 물이 계속 流入, 流出하는 流動狀態에 있기 때문인 것으로 分析된다.

3. 水溫의 月變化

水溫의 月變化는 日平均水溫(測點別로 09, 12, 15, 18時 測定하여 平均)을 각 月別로 다시 平均 算出한 것으로 그 結果는 Table 3 및 Fig. 3와 같다.

Table-3

Monthly variation in water temperature.(Unit : °C)

Measuring point		Monthly	4	5	6	7	8	9
Inlet	No. 1		7.5	8.4	9.4	10.6	12.1	12.5
Middle overflow	No. 2		11.2	11.9	13.7	16.0	18	17.2
	No. 3		10.8	11.7	13.3	15.9	17.7	16.8
Outlet	No. 4		14.2	15.4	18.0	20.4	22.5	20.5
	No. 5		13.4	14.5	16.8	19.2	21.4	20.0
Mean air temp.			13.9	16.1	21.2	23.8	24.4	21.8

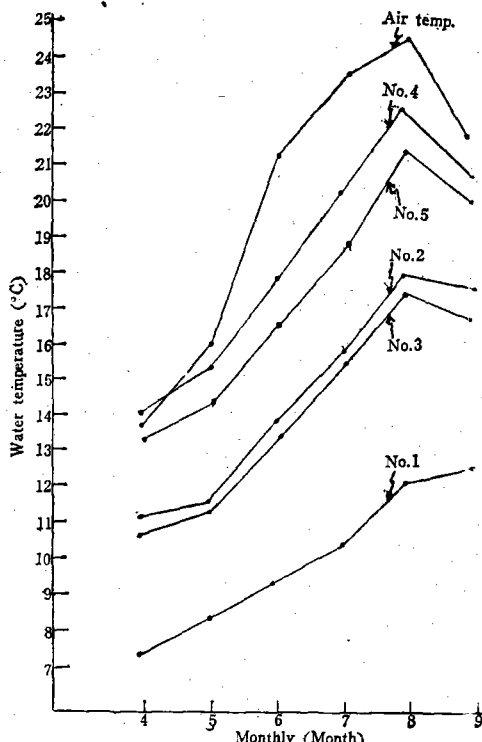


Fig. 3. Monthly variation in water temperature.

여기서 于先 流入口(No. 1) 水溫의 月變化를 살펴보면 4~8月까지는 月平均 1.15°C 의 上昇度를 보

이나, 8~9月까지는 0.3°C 로서 이보다 낮은 上昇度를 나타내고 있다.

그런데, 이는 韓¹⁰⁾이 調査한 地下水溫(冲積平野 16.5°C , 谷間平野 18.2°C , 丘陵地 14.9°C)보다도 훨씬 낮은 水溫이다.

그리고, 中間물님이(No. 2, 3) 및 流出口(No. 4, 5)의 境遇도 역시 4~8月까지는 각各 月平均 1.7 , 1.73 , 2.08 , 2.0°C 의 上昇度를 보이다가 마침내 8月을 頂點으로 氣溫과 더불어 下降하였다.

이와같이 各 測點의 水溫變化가 平均氣溫에 正比例하는 樣相을 보여, 氣溫의 變化에 水溫이 매우 敏感함을 알 수 있다.

한편, 温水池 流出口(No. 4, 5)의 水溫이 平均氣溫을 上迴하는 경우는 4月뿐인데 이는 滞水開始直後로서 非滯水期에 温水池 地面自體가 지니고 있던 地熱이 放出되기 때문이라 推察되며, 이밖에 다른 月은 日平均氣溫 보다 平均 2.6°C 程度 下迴하여 黃¹¹⁾ 및 韓¹⁰⁾이 一般 農業用 賽水池의 表面水溫은 平均氣溫 보다 $1\sim 3^{\circ}\text{C}$ 程度 높다고 報告한 것과相反된 現象을 나타내고 있는데 그 原因은 다음의 Table 4에서 쉽게 알 수 있다. 즉, 春川地方의 平衡水溫과 流出水溫을 比較해 보면 流出水溫이 平衡水溫에 平均 5.75°C 未達되는 바 이는 아직도 水溫上昇의 餘地가 있음을 보여주는 것이다, 이를 為해서는 热交換을 할 수 있는 水面積과 滯留時間이

Table-4 Comparison of balance water temperature and outflow temperature.(Unit : °C)

Classification	Monthly 4	5	6	7	8	9	Remarks
Balance water temp.	16.15	20.12	25.28	26.66	28.35	25.50	From table 10
Outflow temp.	13.80	14.35	17.40	19.80	21.95	20.25	Mean of No.4 and No. 5
Mean air temp.	13.9	16.1	21.2	23.8	24.4	21.8	

더 確保해야 한다는 것을 말해 주는 것으로서 本溫水池에서도 위의 條件만 充分하면 平均氣溫을 上回할 수 있을 것이라는 것은 當然한 論理라 하겠다.

4. 水溫上昇과 氣象條件

水溫의 變化에 영향을 미치는 要素中 가장 절대

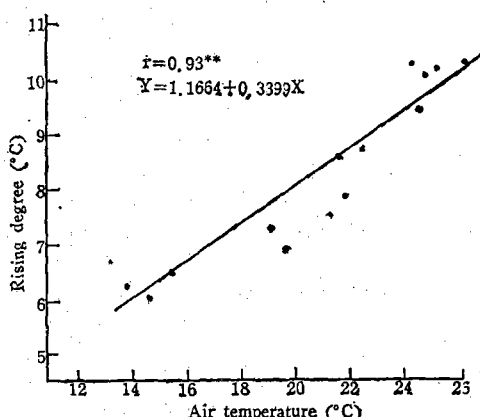


Fig. 4. Correlation between air temperature and rising degree.

적이라 할 수 있는 것은 氣象條件이므로 各 氣象條件의 영향을 分析해 본結果 Fig. 4, Fig. 5, Fig. 6, Fig. 7과 같다.

(水溫上昇度는 測候所의 氣象條件 測定時間과 一致시킨 09, 12, 15, 18時의 測定值를 各旬別로 平均한 것임)

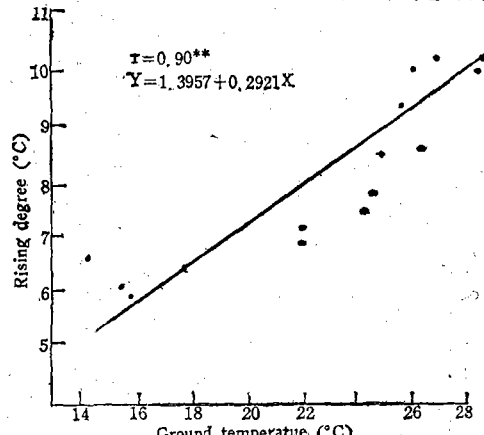


Fig. 5. Correlation between ground temperature and rising degree.

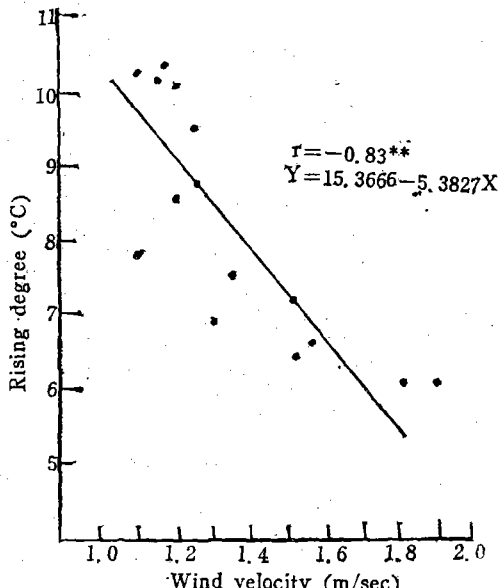


Fig. 6. Correlation between wind velocity and rising degree.

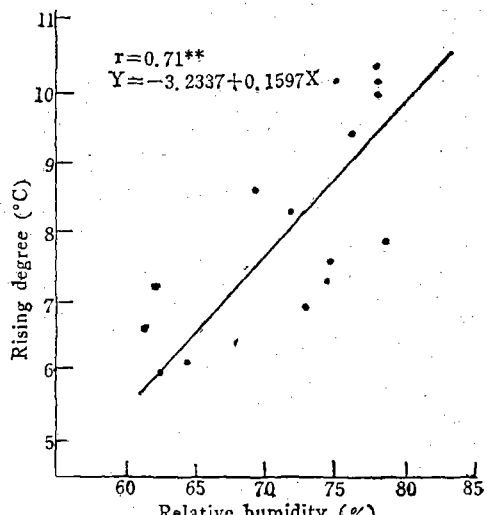


Fig. 7. Correlation between relative humidity and rising degree.

위의 結果에서 볼 수 있는 바와 같이 水溫上昇에 영향을 미치는 氣象條件은 平均氣溫, 地中(地面)溫度, 風速, 相對濕度의 順이었으며, 相關係數는 각각 0.93, 0.9, -0.83, 0.71을 보였다.

이 밖에 위와 같은 方法으로 雲量, 日照時間, 蒸發量, 水平面日射量 等에 對해서도 相關關係를 檢討 했으나 그有意性은 認定 할 수 없었다.

5. 温水池內 水溫分布

1) 水平分布

温水池內 底面部(110cm)의 水溫은 流出口나 모서리의 區分없이 거의 비슷한 分布를 보이고 있으나, 表面部(5cm) 및 中間部(55cm)의 경우는 모서리에 流出水의 水溫보다 각각 2~4°C, 1~2°C 程度 높은 水溫이 分布되어 温水나 死水域을 形成하고 있음을 알 수 있는데 이것은 温水池의 構造가 1點流入 1點流出型이므로 温水池 表面水의 取水가 圓滑하지 못함을 말해 주는 것이라 하겠다. 따라서 温水池는 可能한限 1點流入 1點流出型을 止揚할 것이며, 물면이도 最少의 越流水深과 維持되도록 幅을 넓게 하는 것이 表面水 取水量을 為해 바람직할 것이다.

2) 垂直分布

灌溉期間 동안에 있어서 一般農業用 貯水池의 水深別 水溫은 韓³³ 및 閔³⁴이 調査한 바, 表面과 1m水深인 끝의 水溫差가 平均 1~1.5°C 程度 나타나며 그 以下의 水深에서는 水深別 水溫差가 僅少하였다고 한데 比해, 本 温水池의 平均水深 1.15m에 對한 水溫의 垂直分布는 表面部와 水底部의 水

Table-5

General weather conditions.

Classification	Unit	Monthly		4	5	6	7	8	9
Mean air temp.	°C			13.9	16.1	21.2	23.8	24.4	21.8
Relative humidity	%			0.620	0.638	0.710	0.753	0.770	0.785
Clouds				0.640	0.567	0.687	0.783	0.657	0.600
Wind velocity	m/sec			1.700	1.600	1.250	1.216	1.183	1.100

(2) 平衡水溫算定

이것은 水層에 주는 純放射量과 空氣中の 放熱量이 平衡일 때의 水溫을 말하며, 그 算定式은

$$\theta_a = \theta_e + \frac{(s/h) - 2D}{1 + \varphi} \quad \dots \dots \dots (5)$$

이다.

여기서, θ_e (平均氣溫)는 既知이므로 S (純放射量) h (顯熱傳達係數) D (飽差) φ (飽和水蒸氣壓力變化率)를 求하면 된다.

① S (純放射量)의 計算

溫差가 測點에 따라 다르나 대략 1~5°C를 나타냈다.

특히 그 差는 氣溫이 높은 경우 심하고, 낮은 경우는 僅少한데, 이를 다시 測定 部位別로 區分해 보면 表面(5cm)부터 中間部(55cm)까지는 1~5°C로 差가 크고, 中間部 부터 底面部(110cm)까지는 0.5~1°C 程度로 差가 작았다.

6. 热收支式에 依한 水溫上昇效果 檢討

土地改良 事業設計基準³⁵⁾에 依하면一般的으로 温水池의 水溫上昇度는 모든 热量項들이 平衡을 이루어야 한다는 热力學의 第1法則에 근거를 둔 热收支式으로 부터 전개된 다음 式(4)에 依하여 表示된다. 하므로, 이를 利用하여 本 温水池의 水溫上昇效果를 檢討해 보기로 한다.

$$\frac{\theta_e - \theta_a}{\theta_e - \theta_s} = \left[1 - \exp \left\{ \frac{-h(1+2\varphi)}{cp} \cdot \frac{A}{q} \right\} \right] \dots \dots \dots (4)$$

但, θ_e : 期待水溫(°C)

θ_s : 源流水溫(°C)

θ_a : 平衡水溫(°C)

h : 顯熱傳達係數(cal/m²·°C·sec)

φ : 饱和水蒸氣壓力-溫度曲線의 變化率

(mmHg/°C)

cp : 물의 容積 热容量(cal/°C·m³)

A : 温水池 表面積(m²)

q : 流入 流量(m³/sec)

1) 热收支式의 各項 算出

(1) 地區의 氣象狀況

이는 水溫變化에 有効한 放射熱 Energy의 供給成分과 損失成分의 過不足을 計算하는 것으로서 다음의 式으로 求한다.

$$S = (1-a)R_n - F \dots \dots \dots (6)$$

但, a : 放射率

R_n : 雲天時의 到達 全短波 放射量으로서 最近의 日射觀測值에 依하여 求해진 다음의 式으로 算出한다.

$$R_n = R_0(1 - 0.37n - 0.38n^2) \dots \dots \dots (6-1)$$

(여기서, R_0 : 完全晴天時의 到達全短波 放射量)

n : 平均雲量<0~1.0>임 F_n : 雲量 n 일 때의 純放射量으로서 다음 式으로 表 示된다.

$$F_n = F_0(1 - 0.63n^2) \quad \dots \dots \dots \quad (6-2)$$

여기서 F_n 는 晴天時의 有効放射量으로서

$$F_0 = \theta\delta T^4 + (0.39 - 0.058\sqrt{ea}) \text{에 依해 求함}$$

但, θ : Stefan Boltzmann 常數로

$$8.26 \times 10^{-11} (\text{cal/cm}^2 \cdot \text{min} \cdot \text{K}^4)$$

 δ : 水面의 射出率(0.98) T : 氣溫의 絶對溫度($C + 273$) ea : 空氣 中의 水蒸氣壓力(mmHg)그러면 여기서 于先 晴天時의 有効放射量(F_n) 및 完全晴天時의 到達全短波放射量(R_0)을 求하기로 한 다.

4月

$$F_0 = 8.26 \times 10^{-11} \times 0.98 \times (286.9)^4 \times (0.39 - 0.058\sqrt{7.3842}) = 21.2336$$

5月

$$F_0 = 8.26 \times 10^{-11} \times 0.98 \times (289.1)^4 \times (0.39 - 0.058\sqrt{8.7533}) = 20.5745$$

6月

$$F_0 = 8.26 \times 10^{-11} \times 0.98 \times (294.2)^4 \times (0.39 - 0.058\sqrt{13.4048}) = 17.9478$$

7月

$$F_0 = 8.26 \times 10^{-11} \times 0.98 \times (296.8)^4 \times (0.39 - 0.058\sqrt{16.6488}) = 15.9610$$

8月

$$F_0 = 8.26 \times 10^{-11} \times 0.98 \times (297.4)^4 \times (0.39 - 0.058\sqrt{17.6484}) = 15.4389$$

9月

$$F_0 = 8.26 \times 10^{-11} \times 0.98 \times (294.8)^4 \times (0.39 - 0.058\sqrt{15.3781}) = 16.5572$$

4月

$$R_0 = \frac{21 - (21 - 20.3)}{30.4} \times 0.116$$

$$= 0.078582 \text{ Kcal/m}^2 \cdot \text{sec} = 78.582 \text{ cal/m}^2 \cdot \text{sec}$$

5月

$$R_0 = \frac{23}{30.4} \times 0.116 = 0.087763 \text{ kcal/m}^2 \cdot \text{sec}$$

6月

$$R_0 = \frac{24}{30.4} \times 0.116 = 0.091597 \text{ kcal/m}^2 \cdot \text{sec}$$

$$= 91.597 \text{ cal/m}^2 \cdot \text{sec}$$

7月

$$R_0 = \frac{23.6 - (23.6 - 23.4)}{30.4} \times 0.116$$

$$= 0.089610 \text{ kcal/m}^2 \cdot \text{sec} = 89.610 \text{ cal/m}^2 \cdot \text{sec}$$

8月

$$R_0 = \frac{21.6 - (21.6 - 20.9)}{30.4} \times 0.116$$

$$= 0.080872 \text{ kcal/m}^2 \cdot \text{sec} = 80.872 \text{ cal/m}^2 \cdot \text{sec}$$

9月

$$R_0 = \frac{18.1 - (18.1 - 17.7)}{30.4} \times 0.116$$

$$= 0.068180 \text{ kcal/m}^2 \cdot \text{sec} = 68.180 \text{ cal/m}^2 \cdot \text{sec}$$

따라서 上記 式(6)에 依해 S (純放射量)를 求하면 다음 Table 6과 같다.

Table-6

Calculation of S .

Classification	4	5	6	7	8	9	Remarks
① a	0.0679	0.0600	0.0600	0.0600	0.0600	0.0679	*
② $1-a$	0.9321	0.9400	0.9400	0.9400	0.9600	0.9321	
③ $1 - 0.37n - 0.38n^2$	0.607	0.668	0.566	0.477	0.593	0.641	
④ R_0	78.582	87.763	91.597	89.610	80.872	68.180	
⑤ $(1-a)R_0$	44.4600	55.1810	48.7332	40.1793	46.0388	40.7359	
⑥ T	286.9	289.1	294.2	296.8	297.4	294.8	
⑦ ea	7.3842	8.7533	13.4048	16.6488	17.6484	15.3781	* * $e(\theta_a) \times r$
⑧ F_0	21.2336	20.5745	17.9478	15.9610	15.4389	16.5572	
⑨ $1 - 0.63n^2$	0.7410	0.7970	0.7020	0.6137	0.7280	0.7130	
⑩ $F_n = F_0(1 - 0.63n^2)$	15.7340	10.3978	12.5993	9.7952	11.2395	12.7987	⑧ × ⑨
⑪ S	28.7260	38.7103	36.1339	30.3841	34.7993	27.9372	⑤ - ⑩

* From the planning basis of land improvement. (Irrigation)²¹⁾ p. 198

温水池에 依한 灌溉用水의 水温上昇 効果에 關한 研究

② h (顯熱傳達係數)의 計算

水面과 空氣와의 사이에서 热의 授受를支配하는 것을 나타내는 係數로 값은 風速에 依해 變하며, 다음 式으로 表示된다.

(여기서, V_{10} 은 地上 10m의 風速이나 測候所에서
測定하는 風速은 地上 6m의 風速이므로 V_6 를 取함)

Table-7

Calculation of h .

Classification	4	5	6	7	8	9	Remarks
① $0.5V_0$	1.700	1.600	1.250	1.216	1.183	1.100	
② h	1.940	1.840	1.490	1.456	1.423	1.340	0.24 + ①

③ D (飽差)의 計算

부터 求해지는 相對濕度(r)를 쓰면 다음과 같다.

飽差는 어느 때 氣溫에서의 饱和水蒸氣壓力과 空氣中の 水蒸氣壓力의 差이므로 乾濕球의 温度差로

여기서, $e(\theta_a)$ 는 饱和水蒸氣壓力(mmHg)이다.

Table-8

Calculation of D .

Classification	4	5	6	7	8	9	Remarks
① 1-r	0.380	0.362	0.290	0.247	0.230	0.215	
② $e(\theta_a)$	11.91	13.72	18.88	22.11	22.92	19.59	**
③ D	4.5258	4.9666	5.4752	5.4611	5.2716	4.2118	①×②

^{**} From the planning basis of land improvement (Irrigation)¹⁷⁾ p. 200.

④ φ (飽和水蒸氣壓力-溫度曲線의變化率의) 計算 는 것으로 그 값은 다음 Table 9와 같다.

平衡水温의 上昇率을 정하는데 重要한 役割을 하

Table-9

Calcuation of ϕ .

Classification	4	5	6	7	8	9	Remarks
① φ	0.78	0.88	1.13	1.24	1.26	1.15	**

^{**} From the planning basis of land Improvement(Irrigation) ²⁷⁾ p. 200

위에서 산정한 ①②③④項을 가지고 θ_m (平衡水溫)을 計算하면 다음 Table 10과 같다.

Table-10

Calculation of θ_m

Classification	4	5	6	7	8	9	Remarks
① θ_a	13.9	16.1	21.2	23.8	24.4	21.8	
② s/h	14.8072	21.0382	24.2509	20.8682	24.4548	20.8486	
③ 2D	9.0516	9.9332	10.9504	10.9222	10.5432	8.4236	
④ $s/h-2D$	5.7556	11.1050	13.3050	9.9460	13.9116	12.4250	
⑤ $1+2\varphi$	2.56	2.76	3.26	3.48	3.52	3.30	
⑥ $\frac{s/h-2D}{1+2\varphi}$	2.25	4.02	4.08	2.86	3.95	3.77	
⑦ $\theta_a ({}^\circ C)$	16.15	20.12	25.28	26.66	28.35	25.57	① + ⑥

이 값은 春川地方의 平衡水温으로서 얕은 뜬(1.5m보다 낮은)의 경우 여기에 가깝게接近 할 수는 있으나 어떠한對策을 강구하더라도自然狀態에서는 이 값 보다 높아 질 수 없음을 말해주는 것인데 水稻栽培期間中の 平均平衡水温은 23.7°C로, 計算

되었다

2) 热收支式에 依한 期待水溫 算出

위에서 求한 各項을 式(4)를 变形한 다음의 式에
代入하여 Block別 期待水溫(理論值)을 算出하면
Table 11, 12, 13과 같다.

Table-11 Calculation of expected water temperature by heat balance formula.(Block 1)

Classification	4	5	6	7	8	9	Remarks
① $\theta_w - \theta_o$	8.65	11.72	15.88	16.06	16.25	13.32	
② $1+2\varphi$	2.56	2.76	3.26	3.48	3.52	3.30	
③ h	1.940	1.840	1.490	1.456	1.423	1.340	
④ $-h(1+2\varphi)$	-4.9664	-5.0784	-4.8574	-5.0669	-5.0089	-4.222	
⑤ $\frac{1}{cp} \times \frac{A}{q}$	0.0492	0.0492	0.0432	0.0492	0.0492	0.0492	
⑥ $\frac{-h(1+2\varphi) \times A}{cp \times q}$	-0.24435	-0.24986	-0.23898	-0.24929	-0.24644	-0.21756	
⑦ $\exp(⑥)$	0.783214	0.77891	0.787431	0.779354	0.781579	0.80448	
⑧ $1 - \exp(⑥)$	0.216786	0.22109	0.212569	0.220646	0.218421	0.19552	
⑨ $⑧ \times (\theta_w - \theta_o)$	1.88	2.59	3.38	3.54	3.55	2.60	
⑩ $\theta_o ({}^\circ C)$	7.50	8.40	9.40	10.60	12.10	12.25	
⑪ $\theta_w ({}^\circ C)$	9.38	10.99	12.78	14.14	15.65	14.85	

Table-12 Calculation of expected water temperature by heat balance formula. (Block 2)

Classification	4	5	6	7	8	9	Remarks
① $\theta_\infty - \theta_0$	4.95	8.22	11.58	10.66	10.35	8.37	
② $1+2\varphi$	2.56	2.76	3.26	3.48	3.52	3.30	
③ h	1.940	1.840	1.496	1.456	1.423	1.340	
④ $-h(1+2\varphi)$	-4.9664	-5.0784	-4.8574	-5.0669	-5.0089	-4.422	
⑤ $\frac{1}{cp} \times \frac{A}{q}$	0.07115	0.07115	0.07115	0.07115	0.07115	0.07115	
⑥ $\frac{-h(1+2\varphi) \times A}{cp \times q}$	-0.35335	-0.36133	-0.34560	-0.36050	-0.35638	-0.31462	
⑦ $\exp[⑥]$	0.70733	0.09674	0.70779	0.69732	0.7002	0.73006	
⑧ $1-\exp[⑥]$	0.29766	0.30326	0.29221	0.30267	0.2998	0.26994	
⑨ $⑧ \times (\theta_\infty - \theta_0)$	1.47	2.49	3.38	3.22	3.10	2.25	
⑩ $\theta_0 (\text{°C})$	11.2	11.9	13.7	16.0	18.0	17.2	
⑪ $\theta_w (\text{°C})$	12.67	14.39	17.08	19.22	21.10	19.45	

Table-13 Calculation of expected water temperature by heat balance formula.(Block 3)

Classification	4	5	6	7	8	9	Remarks
① $\theta_\infty - \theta_0$	5.35	8.42	11.98	10.76	10.65	8.77	
② $1+2\varphi$	2.56	2.76	3.26	3.48	3.52	3.30	
③ h	1.940	1.840	1.490	1.456	1.423	1.340	
④ $-h(1+2\varphi)$	-4.9664	-5.0784	-4.8574	-5.0669	-5.0089	-4.422	
⑤ $\frac{1}{cP} \times \frac{A}{q}$	0.0699	0.0699	0.0699	0.0699	0.0699	0.0699	
⑥ $\frac{-h(1+2\varphi) \times A}{cP \times q}$	-0.34715	-0.35498	-0.33953	-0.35417	-0.35012	-0.30909	
⑦ $\exp\{⑥\}$	0.7067	0.70118	0.71211	0.70175	0.7046	0.73411	
⑧ $1-\exp\{⑥\}$	0.2933	0.29882	0.28789	0.29825	0.2954	0.26589	
⑨ $⑧ \times (\theta_\infty - \theta_0)$	1.56	2.51	3.44	3.20	3.14	2.33	
⑩ $\theta_0 (\text{°C})$	10.8	11.7	13.3	15.9	17.7	16.8	
⑪ $\theta_\infty (\text{°C})$	12.36	14.21	16.74	19.10	20.84	19.13	

3) 水溫의 理論値와 實測値 比較

위에서 算出된 各 Block別 期待水溫(理論値)과 實

際測定水溫(實測値)를 比較하면 다음 Table 14와 같다.

Table-14 Comparison of computed water temperature and observed water temperature.(Unit : °C)

Classification	4	5	6	7	8	9	Remarks
Block 1	Computed	9.38	10.99	12.78	14.14	15.65	14.85
	Observed	11.00	11.80	13.50	15.95	17.85	17.00
	Difference	1.62	0.81	0.72	1.81	2.20	2.15
Block 2	Computed	12.67	14.39	17.08	19.22	21.10	19.45
	Observed	14.20	15.40	18.00	20.40	22.50	20.50
	Difference	1.53	1.01	0.92	1.18	1.40	1.05
Block 3	Computed	12.36	14.21	16.74	19.10	20.84	19.13
	Observed	13.40	14.50	16.80	19.20	21.40	20.00
	Difference	1.04	0.29	0.06	0.01	0.56	0.87

위의 結果에 나타난 바와 같이 理論値와 實測値의 差平均은 Block 1에서 1.55°C, Block 2에서 1.18°C, Block 3에서 0.47°C였고 热收支式에 의하여 求한 理論上의 水溫上昇度(Table 11, 12, 13의 ⑨項)는 Block 1에서 2.92°C, Block 2에서 2.65°C, Block 3에서 2.69°C였다.

그리나, 實際의 水溫上昇度는 理論上의 水溫上昇度에 差平均을 合한 값과 같아야 되므로, 이를 補正코자 각각의 差率을 구하면 Block 1에서 53% Block 2에서 44% Block 3에서 18%로 平均 38%였다.

따라서, 前記한 热收支式 즉 (4)式을 本 温水地의 各 Block에 共通的으로 합당도록 하기 爲해

$$\theta_m - \theta_0 = \left[1 - \exp \left\{ \frac{-h(1+2p)}{cp} \cdot \frac{A}{q} \right\} \right] \times (\theta_m - \theta_0) \times C \quad \dots \dots \dots (10)$$

라 둘 경우,

補正係數 C는 1.38이 되므로, 이 값을 (10)式에 代入하면 期待值에 훨씬 가까운 水溫上昇度를 算出할 수 있을 것이다.

그리고, 일단 Block을 區分해서 温水地를 設計할 때는水面을 不連續으로 간주해서 各 Block別로 水溫上昇度를 算出해야지, 水脈이 連結된다고 全體面積을 同一한水面積으로 취급하여 計算해서는 正確을 期하기 어려울 것이다.

V. 結論

水稻作에 있어서 灌溉用水源은 河川, 貯水池, 湖沼, 集水暗渠, 管井 等에서 大規模의 댐에 이르기까

지 範圍가 넓은데 水溫이 高은 水稻의 生育 및 收量에 큰 지장을 초래한다.

특히 温水取水施設이 되지 難은 大規模의 댐에서 灌溉用水量 供給하거나 山間地方에서 河川水(特히 融雪水)를 取水하거나, 地下水를 灌溉할 경우에는 水溫問題가 심각하게 擾頭된다.

따라서 用水路內에서의 限界水溫이라 할 수 있는 23°C(非灌水灌漑時)에 未達될 경우는 水溫上昇施設이 必要하게 되는데 昭陽댐을 灌溉用水로 하고 있는 牛頭地區導水路末端의 水溫은 7.5~12.5°C로서 이보다 훨씬 낮아 水稻作이 거의 不可能하였으므로 이에 대한 대책으로 温水池를 設置하였으나, 國內最初의 施設로 이의 設計 및 施工에는 많은 問題이 뒤따랐다.

그리하여 本研究에는 이 温水池를 對象으로 水溫上昇 效果에 對하여 考察해 볼으로써 今後의 温水池 設計에는 勿論, 山間地方의 冷水被害 減免對策의 樹立에도 기여해 보고자 했다.

調査研究內容은 ① 流入流出量 및 温水池內 滯留時間의 測定, ② 水溫의 日變化 및 月變化調查, ③ 水溫上昇度와 氣象條件과의 關係, ④ 温水池內 水溫分布調查, ⑤ 热收支式에 依한 水溫上昇效果檢討 等이였다.

그結果 滯留時間이 流量과 비슷한條件(流量, 源流水溫)이면 水溫上昇度가 높게 나타났으며, 水溫의 日變化 및 月變化는 氣溫과 密接한 關係를 보였고 水溫上昇度와 氣象條件과의 關係를 分析해본 바 平均氣溫, 地中(地表)溫度, 風速, 相對溫度의 順이었으며, 温水池內 水溫分布는 그 構造가 1點流入, 1點流出型이어서 모서리의 表面水가 流出水溫보다

높은 水溫을 나타냈다.

그리고, 熱收支式에 依해서 水溫上昇效果를 檢討해 본 바 實測值가 理論值보다 遠 반적으로 높아 理論式(熱收支式)을 補正하는 補正係數가 $c=1.38$ 로 計算되었으므로, 이를 (10)式에 代入하여 期待水溫을 算出하면 그 差를 줄일 수 있어, 今後의 溫水池設計에 參考가 될 것이다.

그러나, 아직 國內에는 이러한 大規模의 溫水池에 對한 研究結果가 없을 뿐만 아니라 위의 結果도 2個年에 걸쳐 調查, 研究한 短期間의 것이여서 다소 미흡한 점도 있으나 그것은 차후의 속계적인 調查研究로 充分히 보완될 수 있을 것이다.

단지, 分明한 것은 本 溫水池의 月平均 流入水溫이 $7.5\sim12.5^{\circ}\text{C}$ 流出水溫이 $13.4\sim22.5^{\circ}\text{C}$ 로서 $6.7\sim10.4^{\circ}\text{C}$ 의 比較的 높은 水溫上昇度를 보이는 바, 現條件下에서는 溫水池의 機能을 다하고 있다는 點이라 하겠으며, 그 效率을 더 높이기 위해서는 溫水池構造(특히 물념이)에 對한 세심한 檢討가 필요하리라 보여진다.

結果의 으로 말해서 灌溉用水가 限界水溫 以下의 低水溫일 경우는 水溫上昇設施을 마련하여 그被害를 防止하여야 하는데, 그 施設中 溫水池는 많은 敷地面積이 所要된다는 短點이 있으나, 大規模의 用水處理를 할 경우, 安定된 水溫上昇度를 얻는데는 效果의 有施設이라 할 수 있겠다.

VI. 摘 要

本研究는 灌溉用水의 水溫上昇을 위하여 設置된 江原道 春川市 牛頭洞 所在 牛頭溫水池를 對象으로 溫水池의 水溫上昇效果에 對해 考察해 봄으로써 앞으로의 溫水池 建造는 勿論 冷水被害의 減免對策樹立에도 기여코자 '75~'76 2個年에 걸쳐 調査研究한 바 그 結果는 다음과 같다.

1. 水溫의 日變化는 流入口(No. 1; 0.6°C) 가 가장 작았고, 다음이 中間물념이(No. 2; 3C, No. 3; 2.3°C), 流出口(No. 4; 3.6°C , No. 5; 3.8°C)의順이었으며, 각 測點別 水溫의 最高 到達時間은 共히 17時 前後로 氣溫보다 約 1時間程度 늦은 경향을 보여 氣溫의 變化에 민감함을 나타냈다.

2. 水溫의 日變化는 各 測點 共히 4~月 까지는 氣溫과 더불어 上昇(月平均 上昇度 No.1; 1.15°C , No.2; 1.7°C , No.3; 1.73°C No.4; 2.08°C , No.5; 2.0°C)하다가 8月을 頂點으로 점차 下降했다.

3. 溫水池의 月平均 流入水溫은 $7.5\sim12.5^{\circ}\text{C}$ 였으

며, 流出水溫은 $13.4\sim22.5^{\circ}\text{C}$ 로서 $6.7\sim10.4^{\circ}\text{C}$ 의 水溫上昇度를 보였다.

4. 溫水池의 水溫上昇과 有意의 相關關係를 氣象條件는 平均氣溫, 地中(地面)溫度, 風速, 相對濕度의 順으로, 그 相關係數는 각각 0.93, 0.90, -0.83, 0.71이었다. 이외에 雲量, 日照時間, 蒸發量, 水平面日射量 等에 對해서도 相關關係를 檢討했으나 有意性은 認定할 수 없었다.

5. 水稻栽培 期間中 春川地方의 平衡水溫은 Table 10과 같으며, 全期間 平均은 23.7°C 로 計算되었다.

6. 溫水池의 流出水溫은 實測值가 理論值보다 높은데, 그 差의 平均은 Block 1에서 1.55°C , Block 2에서 1.18°C , Block 3에서 0.47°C 로 理論上 平均水溫上昇度(Table 11, 12, 13의 ⑨項)에 對한 比率은 각각 53%, 44%, 18%로 平均 38%를 나타냈다.

따라서 (4)式을 本 溫水池의 各 Block에 共通의 으로 計算托록 補正교정

$$\theta_w - \theta_0 = \left[1 - \exp \left\{ \frac{-h(1-2\varphi)}{cp} \cdot \frac{A}{q} \right\} \right] \times (\theta_w - \theta_0) \times c$$

라 놓고, 補正係數를 求한 즉 $c=1.38$ 이 되므로, 上述을 代入하여 期待水溫을 算出하면 그 差를 줄일 수 있어, 今後의 溫水池 設計에 參考가 될 것이다.

參 考 文 獻

1. 崔榮博外 2人; (1972) 水理學, 光林社 pp. 114 ~120
2. 春川測候所; (1975~1976) 農業氣象旬報
3. 田原耕三外 1人; (1963) タイプの異なる水温上昇設施の検討, 農土研, Vol. 30(8)
4. 高杉成道; (1938) 生育の各期にける一定低温が水稻に及ぼす影響について(豫報), 農及園, Vol. 13(4)
5. 田中稔; (1940) 冷水の水稻生育に及ぼす影響に就て(第1報), 農及園, Vol. 15(7)
6. 榎本中衛; (1937) 冷水灌漑の 水稻特性に及ぼす影響(第3報) 出穗と水温との関係(第4報) 積實と水温との関係, 農及園, Vol. 12(11, 12)
7. 淀澤光雄; (1968) 松川第溫水路의 水溫上昇について, 農土研, Vol. 36(4)
8. 韓旭東, 鄭斗浩, 金顯喆, (1969) 貯水池의 水深과 水路長이 水溫에 미치는 影響, 農村振興廳研究事業報告書 Vol. 12(6)
9. ——; (1971) 地下水 灌溉에 따른 水稻冷害에

温水池에 依한 灌溉用水의 水温上昇 效果에 關한 研究

關한 試驗, 農工利用研究所研究報告書 Vol. 1

10. — ; (1974) 地下水 灌溉에 依한 水稻의 減收樣狀斗 그 防止策에 關한 研究. 韓國農工學會誌 Vol. 6(1) pp. 1~43

11. 黃 垠; (1972) 農業用水의 水溫上昇에 關한 研究. 韓國水文學會誌 Vol. 5(2) pp. 17~29

12. 丁基鎮; (1975) 昭陽江牛頭洑用水代替施設(溫水池)工事報告. 韓國水文學會誌 Vol. 8(1) pp. 51~58

13. 片岡薩四, 田屋廣治; (1958) 實驗溫水路における水溫變化について 農工研, Vol. 25(8)

14. 川原琢磨; (1953) 灌溉水温に関する基礎研究 (1). 農土研, Vol. 21(4) pp. 14~21

15. 角田公正, 松島省三(1960) 水稻收量成立原理とその應用に關する作物學的研究 LIV. 生育各期の水温の高低並びにその 日較差の 大小が水稻の生育, 收量および收量構成要素に及ぼす影響, 日本作物學會記事 Vol. 28(3)

16. —, — ; (1962) 同上 LXII 水深を異にした場合の水温の高低が水稻の生育, 收量ならびに收量 構成要素に及ぼす影響, 日本作物學會記事 Vol. 31(1)

17. — ; (1963) 水温と稻の生育收量との關係する實驗的研究, 農技研, 報告. A

18. 近藤萬太郎, 岡村保; (1931) 水稻と稻の生育との關係. 農及園, Vol. 6(4) p. 517

19. 前川忠夫, 林弘宣; (1951) 溫水路の研究(第1

報) 農土研 Vol. 19(2)

20. 松島省三, 山口俊三, 岡部俊, 小松辰元; (1953) 稲作には何時の日射が大切か, 收量の成立經過と玄粒大の決定機構, 農及園 Vol. 28(10)

21. —, 角田公正; (1958) 水稻の生育收量と水温及び日較差との關係, 農及園 Vol. 34(5)

22. 三原義秋, 大沼一己; (1955) 溫水池における水温上昇度と熱獲得効果について, 農技研, Vol. A(4) pp. 45~46

23. 閔丙燮, 趙成燮; (1969) 忠南地域에서의 地下水開發에 關한 調查, 韓國農工學會誌 Vol. 11(4)

24. —, 外 5人; (1972) 新制 農業水利學, 鄉文社 pp. 24~37

25. 村上成一; (1969) 溫水路の水温調査について 長野縣チケ龍地區, 農土研 Vol. 37(7)

26. 日本農業土木學會; (1967) 農業土木ハンドブック pp. 492~496

27. 農林部; (1969) 土地改良事業計劃設計基準 (灌溉編) pp. 179~216

28. 佐木喬; (1935) 稲の結實に及ぼす低温の影響 日本學術協會 Vol. 10(2)

29. 八鍬利男; (1932) 水深を異にする苗代の温度について(Ⅱ), 農及園 Vol. 7

30. 橫田良次郎; (1959) かんがい水温上昇施設について(中間報告), 農土研, Vol. 26(7)